4 讨论

- 4 1 用 LC/MS"方法分析鉴定咖啡酸在大鼠体内 代谢产物,并推测其代谢规律已有文献报道[6.7.10], 但根据 LC/MS"质谱数据只能推测代谢产物的结 构,一般要通过与化学合成或生物转化等方法得到 的纯物质进行色谱及质谱特征对照确定其结构,或 者通过化学分离手段获得代谢产物,并通过光谱学 方法确证其结构。本研究从尿样中分离并通过 NMR 法确证了两个葡萄糖醛酸结合物的结构,与 文献推测的结果是一致的[67]。
- 4 2 实验过程中发现代谢物 I ~ IV室温放置容易 变化,须放至冰箱中冷冻保存,否则降解为原形药咖 啡酸。
- 4 3 进行大孔树脂处理时, 尿样调节 pH 3 不会对 尿样中代谢产物产生影响。
- 4 4 代谢物Ⅰ和Ⅱ为国内首次分离得到的化合物, 国外作者「以咖啡酸甲酯为底物合成了这两个代 谢物。

参考文献:

[1] Toshiya M, Kazuki Y, Jun A, et al. Antioxidation mechanism studies of caffeic acid; identification of antioxidation products of methyl caffeate from lipid oxidation [J]. J Agric Food Chem, 2008, 56(14): 5947-5952

- [2] Mori H, Iwahashi H. Antioxidant activity of caffeic acid through a novel mechanism under UVA irradiation [J]. JClin Biochem Nutr, 2009, 45(1): 49-55
- [3] Wang G F, Shi L P, Ren Y D, et al. Anti-hepatitis B virus activity of chlorogenic acid, quinic acid and caffeic acid invivo and in vitro []]. Antivir Res, 2009, 83(2): 186-190
- [4] 王 峰,刘 敏,杨连春,等.咖啡酸阿魏酸对高血压大鼠 的降压作用 [J]. 解放军药学学报, 1999, 15(5): 1-4
- [5] Jung U J, Lee M K, Park Y B, et al. Antiphyperglycemic and antioxidant properties of caffeic acid in db/ db mice []. J Pharmacol Exp. Ther, 2006, 318(2): 476-483
- Zhang Z C, Xu M, Sun S F, et al. Metabolic analysis of four phenolic acids in rat by liquid chromatography-tandem mass spectrometry [J]. J Chromatogr B, 2008, 871: 7-14
- Zhou M J, Zhu Y X, Corredor P. Determination of the phase I and II metabolites of caffeic and chlorogenic acids in rats by LC-MS/MS [J]. Asian J Pharmacody Pharmacok, 2008, 8(1): 51-62
- Azuma K, Ippoushi K, Nakayama M, et al. Absorption of chlorogenic acid and caffeic acid in rats after oral administration [J]. J Agric Food Chem, 2000, 48(11): 5496-5500
- [9] Cui L. Qiu F, Yao X S. Isolation and identification of seven glucuronide conjugates of andrographolide in human urine [J]. Drug Metab Dispos, 2005, 33(4): 555-562
- 苏美英, 周婷婷, 周茂金. LC/MSn 鉴定咖啡酸在大鼠体内 [10] 的代谢产物 [J]. 中国现代应用药学, 2009, 26(6): 501-
- [11] Timo S, Roman L, Daniela K, et al. Absorption of N-phenylpropenoyl-L-amino acids in healthy humans by oral administration of cocoa [J]. Mol Nutr Food Res, 2008, 52: 1201-1214

土槿乙酸联合 9-顺式维甲酸促进白血病细胞凋亡的机制研究

赟¹,徐瑞成²,何 滔³

(1 武警医学院附属医院 内分泌血液科,天津 300162; 2 武警医学院 科研部,天津 300162; 3. 武警医学院附属医院 病理科, 天津 300162)

摘 要:目的 观察过氧化物酶体激活物活化受体γ(PPARγ)的配体土槿乙酸(PLAB)联合维甲类 X 受体α (RXRα)的配体 9-顺式维甲酸 (9-ais RA) 促进白血病细胞凋亡的作用, 探讨其作用机制。方法 应用透射电子显 微镜、琼脂糖凝胶电泳分析 HL-60 细胞凋亡, RT-PCR 检测 HL-60 细胞 Cyclin D1 和 CDK4 mRNA 表达。结果 HL-60 细胞经配体联合作用后, 电镜下可见明显细胞凋亡的形态学变化, 琼脂糖凝胶电泳出现 DNA Ladder Cyclin D1 及 CDK4 mRNA 的表达均降低, 且联合用药组下降程度明显较单独作用组大 ($P \!\!< \! 0$ 05)。结论 PLAB 联 合 9-ais RA 抑制 HL-60 细胞生长, 其机制与凋亡诱导效应相关。

关键词: 土槿乙酸; 9-顺式维甲酸; 白血病; 细胞凋亡; Cydin D1; CDK4

文章编号: 0253-2670(2010)06-0952-04 中图分类号: R286 91 文献标识码: A

土槿乙酸 (pseudolaric acid B, PLAB) 是从土 槿皮中分离出的主要成分之一,是过氧化物酶体激 活物活化受体 γ(peroxisome proliferators activated receptor gamma, PPARY) 激动剂,可介导肿瘤细 胞生长抑制和凋亡[1~3]。9-顺式维甲酸(9-cis RA) 是改变多烯侧链结构合成的第3代维甲酸,是维甲

①收稿日期: 2009-10-14

报响日别: 2009 10 14 基金项目: 国家自然科学基金资助项目(30901985) 作者简介: 郭 赟(1982一)女, 硕士, 医师, 主要从事恶性血液病的防治研究。E-mail: 1982guoyun@163. com

^{*}通讯作者 徐瑞成 E-mail: xu_rc@sohu.com

类 X 受体 α (retinoid X receptor alpha, RXR α) 的配体,可诱导多种肿瘤细胞分化 α 。本实验在前期研究 的基础上,探讨 PLAB 联合 9-cis RA 促进白血病 H L-60 细胞凋亡及相关的作用机制。

1 材料与方法

1 1 药品与试剂:PLAB (质量分数>98%)为武警 医学院生药教研室陈虹教授提供,用无水乙醇溶解 成保存液,浓度为 0 01 mol/L, -20 [℃] 避光保存,实验时用无血清培养基稀释 (乙醇终体积分数控制 在 0 1%);9-cis RA、琼脂糖、溴化乙锭 (EB)、Proteinase K、RNaseA、DEPC 水为 Sigma 公司产品;RPMI 1640 培养基为 Gibco 公司产品;Trizol为美国 Promega 公司产品。引物由大连宝生物公司合成,RT-PCR 试剂盒为大连宝生物公司产品。1 2 细胞培养:HL-60 细胞系购自中国医学科学

1 2 细胞培养: H L-60 细胞系购自中国医学科学院血液学研究所, 自行传代培养, 常规培养于 RPM I 1640 培养基, 补充 10% 胎牛血清, 置于 37%.5% CO2混合气体的孵箱中培养, 取对数生长期细胞进行实验。

1 3 透射电子显微镜观察细胞超微结构的变化:将HL-60细胞常规传代、分为实验组及对照组。01 μmol/LPLAB联合10μmol/L9-cisRA作用96h后(实验组)常规收集细胞2×10⁶个,1000×g离心10min,弃上清,立即小心地加入PBS配制的25%戊二醛1mL固定细胞团,用滴管轻吹,使细胞团浮起,前固定30min后,1%锇酸后固定2h,乙醇逐级脱水,环氧树脂包埋,超薄切片,铀铅染色。在透射电镜下观察并摄影记录。对照组细胞不加药物处理,其余操作同实验组。

1 4 PLAB 联合 9-cis RA 对 HL-60 细胞染色体 DNA 断裂的影响: 取对数生长期细胞, 按上述方法 传代分组。药物作用 96 h 后分别收集 2×10^6 个细胞,将待测细胞用 PBS 洗一次后移入 1.5 mL 离心管中,再用 PBS 洗涤一次,离心去除上清。向细胞沉淀中加入细胞裂解液 $50~\mu$ L 悬浮细胞,混匀后于 37 $^{\circ}$ C 水浴保温 24 h,细胞充分裂解。在台式高速离心机中,以室温 12 $000\times g$ 离心 10 min,去除细胞碎片,吸上清至另一离心管中。在上清中加 1/10 体积的醋酸钠,混匀,加入 2.5 倍体积的冷无水乙醇,混匀,一 $20~^{\circ}$ C 沉淀 DNA 4 h 以上。4 $^{\circ}$ C 12 $000\times g$ 离心 10 min,收集沉淀。TE 缓冲液 20 $^{\mu}$ L 悬浮 DNA,加 RNase A $5~^{\mu}$ L (终质量浓度 0.6 mg/mL), 37 $^{\circ}$ C 水浴保温 1 h, 灭活 RNA。吸取溶解的 DNA 溶液 $40~^{\mu}$ L,加入样品缓冲液 $5~^{\mu}$ L,混匀,加

入 2% 琼脂糖凝胶样品孔中,室温恒流 75 mA,于 0 5×TBE 电泳缓冲液中电泳,50 V 电泳 4 h,紫外灯下观察并于凝胶自动成像系统摄影记录实验结果。

1. 5 RT-PCR 检测 Cyclin D1 和 CDK4 mRNA 表达: RNA 提取和逆转录,用 Trizol 法提取细胞总RNA。以 $1\times 10^4/\text{mL}$ 接种于培养瓶中,设溶剂对照组和给药组(终浓度分别为 9-cis RA $10~\mu\text{mol}/\text{L}$, PLAB $0.~1~\mu\text{mol}/\text{L}$, 9-cis-RA $10~\mu\text{mol}/\text{L}$ +PLAB $0.~1~\mu\text{mol}/\text{L}$),于加药 96 h 后分别收集细胞,根据RNA 在 260 nm 和 280 nm 的吸光度比值(\geq 2 0)鉴定 RNA 纯度和完整性。取 $1~\mu\text{g}$ 总 RNA 为模板逆转录为 cDNA。

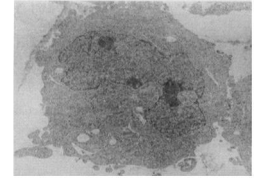
应用 Omiga 2.0 设计 Cyclin D1、CDK4 和 GAD-PH 引物序列。CDK4 5'-CATGTAGACCAGGAC-CTA AGG -3', 5'-A ACTG GCGC AT CA GATCCTA G -3′,片段长度 206 bp; Cyclin D1 5′-CTGTCGCTG-GAGCCCGTGAAAAAG-3', 5'-GAAGTTGTTGGG-GCTCCTCAGGTT-3′, 片段长度 405 bp; GAPDH 5′-CTTTGGTATCGTGGAA-GGAC-3', 5'-GAAATGA-GCTTGACAAAGTG-3['], 片段长度 434 bp。按 RT-PCR 试剂盒操作说明,设循环条件.预变性 94 ℃、5 min, 变性 94 ℃、1 min, 退火 55 ℃、1 min, 延伸 72 °C、1 min, 35 个循环后 72 °C 延伸 10 min。PCR 产物经2%琼脂糖凝胶电泳,结果用凝胶自动成像 2000 系统扫描, 并以内参对照 GAPDH 校正进行相 对量分析,以3次实验结果的均值进行统计学分析。 1 6 统计学处理: 实验数据以 $x \pm s$ 表示, 两组间 的比较用 t 检验,用 SPSS 11 0 统计软件进行统计 学分析处理。

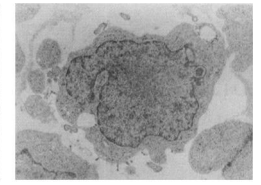
2 结果

2 1 透射电子显微镜观察细胞超微结构的变化: 对照组 HL-60 细胞细胞核大,呈异型核,多位于细胞一侧。核/质比大,核基质电子密度均匀一致,线粒体多分布于核周区,高尔基体和溶酶体较少,内质网不甚 发达,核糖体 遍布整个胞 浆。0 1 μmol/L PLAB 联合 10 μmol/L 9-cis RA 组胞浆电子密度增高,基质密度增加,细胞体积缩小,胞膜完整,细胞浆浓缩,核固缩,染色质致密聚集于细胞核核膜,呈境界分明的环形或新月形小体。见图 1。

2 2 PLAB 联合 9-cis RA 对 LH-60 细胞染色体 DNA 断裂的影响: $0.1 \,\mu$ mol/L PLAB 联合 $10 \,\mu$ mol/L 9-cis RA 作用 96 h, HL-60 细胞 DNA 广泛断裂, 形成大小不一的 DNA 片段, 甚至单聚或寡聚核小体, 从而在琼脂糖凝胶电泳上呈现规则的、间

隔 180~200 bp 的阶梯状条带 (DNA Ladder)。而 对照组只可见基因组 DNA。 见图 2。





对照组

0.1 μ mol·L⁻¹ PLAB 联合 10 μ mol·L⁻¹ 9-cis RA 组

图 1 透射电子显微镜观察 PLAB 联合 9-*dis* RA 作用 96 h HL-60 细胞超微结构的变化

Fig. 1 Microstructure changes of HL-60 cells treated by combining PLAB and 9-cis RA for 96 h by transmission electron microscopy detection

实验组 对照组 DNA Marker



图 2 PLAB 联合 9-*ais* RA 对 HL-60 细胞染色体 DNA 断裂的影响

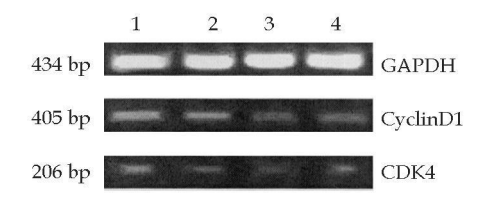
Fig. 2 Confirmation of DNA fragmentation in HL-60 cells treated by combining PLAB and 9-cis RA

2 3 PLAB和9-cis RA对HL-60细胞Cyclin D1和CDK4mRNA表达的影响: HL-60细胞有Cyclin D1及CDK4mRNA表达,药物作用96h后,其表达强度下调,联合用药组与对照组、单独使用9-cis RA组、单独使用PLAB组比较,Cyclin D1及CDK4在mRNA水平表达差异有统计学意义(P<005),见图3。

3 讨论

本研究结合多种细胞检测方法,均证明 PLAB 联合 9-cis RA 可促进 HL-60 细胞凋亡,且联合用 药作用远大于单独用药,这也再次证明本课题组的前期实验的科学性[10.11]。

细胞增殖是通过细胞周期来实现的,准确、有序地出入各个周期时相成为细胞正常生长、代谢的关键,细胞周期的不同时相存在着关键的调控点,其中



1-对照组 2-10 μmol ° L⁻¹ 9-cis RA 组 3-0 1 μmol ° L⁻¹ PLAB 联合 10 μmol ° L⁻ 9-cis RA 组 4-0 1 μmol ° L⁻¹ PLAB 组

1-control group - 2-10 μ mol $^\circ$ L $^{-1}$ 9-cis RA group 3-0 - 1 μ mol $^\circ$ L $^{-1}$ PLAB combinated 10 μ mol $^\circ$ L $^{-1}$ 9-cis RA group 4-0 - 1 μ mol $^\circ$ L $^{-1}$ PLAB group

图 3 9-cis RA 和 PLAB 对 HL-60 细胞 Cyclin D1 和 CDK4 mRNA 表达的影响

Fig. 3 Effects of 9-ais RA and PLAB on Cyclin D1 and CDK4 mRNA expression in HL-60 cells

以 G→S 期调控点最为重要, Cvclin D1 和 CDK4 被认为在细胞 G₁→S 期的转换过程中发挥重要作 用。细胞生长和分化的调节与细胞周期中的诸多因 素密切相关,随着对细胞周期调控认识的不断深入, 出现了"癌症可能是一类细胞周期疾病"的观点[13]。 研究显示,对细胞周期调控的核心机制是 CDKs 的 时相性激活,它主要依赖于 Cyclins 的细胞周期特 异性或时相性表达、累积与分解。这一系统中的调 节基因及蛋白的改变和肿瘤发生、发展、治疗及预后 的关系是目前国内外肿瘤研究的热点。本课题组前 期研究发现, 9-cis RA 可促使胃癌细胞株 MGC80-3 细胞凋亡且细胞周期调控因子 Cyclin D1 和 CDK4 表达明显下降[8]。本研究显示, HL-60 细胞 Cyclin D1 和 CKD4 有较高水平表达, PLAB、9-cis RA 作 用 96 h, 发现 Cyclin D1 和 CDK4 表达强度下调, 其 中联合用药组下调程度大于单独用药组,这与本课 题组前期研究中发现联合用药组细胞抑制率远大于 单独用药组^[9] 的结论相互呼应。本研究对 PLAB、 9-cis RA 联合用药抑制 HL-60 生长的作用机制进 行了进一步的研究,为今后的实验和临床研究提供 了初步依据。

参考文献:

- [1] Yang S P, Wu Y, Yue J M. Five new diterpenoids from Pseudolaric Kaemp feri [J]. J Nat Prod, 2002, 65 (7): 1041
- [2] 徐瑞成,刘燕青,买 霞,等. 土槿乙酸诱导 HL-60 细胞凋亡及其与半胱氨酸蛋白酶 3 活化的关系 [J]. 实用癌症杂志,2004,19(4):503-505
- [3] 姜孟臣, 陈 虹, 张 敏, 等. 土槿乙酸对人黑素瘤细胞增殖抑制作用研究[J]. 中草药, 2003, 34(6): 532-534
- [4] Choi E J, Whang Y M, Kim S J. Combinational treatment with retinoic acid derivatives in non-small cell lung carcinoma in vitro [J]. Korean Med Sci, 2007, 22(Suppl): S52-S60

- Brodeur H, Parisotoo M, Chagnon S. Isomer specific retinoic acid biosynthesis in HeLa cells expressing recombinant class I aldehyde dehydrogenases [J]. Biochim Biophys Acta, 2007, 1770(11); 1548-1556
- Hansen N J, Wylie R C, Phipps S M. The low-toxicity 9-cis UAB30 novel retinoid down-regulates the DNA methyltransferases and has anti-telomerase activity in human breast cancer cells [J]. Oncol, 2007, 30(3): 641-650
- Singh R R, Gunuraj A E, Vadlamudi R K. 9-cis-retinoic acid up-regulates expression of transcriptional coregulator PELP1, a novel coactivator of the retinoid X receptor alpha pathway [J]. Biol Chem, 2006, 281(22); 15394-15404
- 徐瑞成, 周艳红, 呼文亮. 9-顺式维甲酸诱导胃癌 MGC80-3

- 细胞周期阻滞和凋亡的作用机制[J]. 癌症, 2006, 25(12);
- [9] 郭 赟,徐瑞成,何 滔. 土槿乙酸增强 9-顺式维甲酸对白 血病细胞生长的抑制作用[J]. 肿瘤防治研究, 2009, 36 (9): 726-729
- [10] 孟爱国,徐瑞成,呼文亮. 比格列酮对胃癌细胞生长的影响 及机制[]]. 肿瘤防治研究, 2006, 33(5); 334-336
- [11] 徐瑞成,孟爱国,呼文亮. PPAR 和 RXR 表达上调增强了 对肿瘤生长的抑制作用[J]. 基础医学与临床, 2007, 27 (3): 255-258
- [12] Garber K. Beyond the Nobel Price: cell cycle research offers new view on cancer [J]. J Natl Cancer Inst, 2001, 93(23); 1766-1768

黄芪苷IV通过 PI3K/Akt 信号通路抗 H2O2诱导的 H9c2 细胞氧化损伤

琦,彭 洋,宋君秋,吴艳娜,刘艳霞 (天津医科大学基础医学院 药理学教研室, 天津 300070)

摘 要:目的 研究黄芪苷 IV对 H₂O₂诱导的 H₂O₂ 细胞氧化损伤的保护作用 及其作用机制。方法 建立 H₂O₂诱 导的 H9c2 细胞氧化损伤模型, MTT 法检测细胞存活率, DNA 抽提及琼脂糖凝胶电泳、Hoechst 33258 染色、 caspase-3 活性检测细胞凋亡, Western blotting 检测 t-Akt 和 p-Akt 蛋白的表达。结果 与 H₂O₂组比较, 10, 20 mg/L 的黄芪苷Ⅳ均显著提高细胞存活率, 降低 caspase-3 活性, 减轻细胞凋亡; 且均显著上调 p-Akt 蛋白的表达; PI3K/ Akt 抑制剂 LY294002 部分阻断 10、20 mg/ L 黄芪苷 IV的保护作用。结论 黄芪苷 IV部分通过 PI3K/ Akt 通路发挥对 H₂O₂诱导的 H₉c₂ 细胞氧化损伤的保护作用。

关键词: 黄芪苷 IV; H₂O₂; H9c2; 细胞凋亡; PI3K/ Akt; LY294002

中图分类号: R285 5 文献标识码: A 文章编号: 0253-2670(2010)06-0955-05

氧化应激是机体在遭受各种有害刺激时,体内 活性氧 (reactive oxygen species, ROS)产生过多, 氧化程度超出抗氧化物的清除能力,氧化系统和抗 氧化系统失衡而导致组织损伤的过程。近年来大量 研究表明,氧化应激与多种心血管疾病如高血压、动 脉粥样硬化、心肌肥大、心力衰竭等密切相关[1]。黄 芪苷IV(A stragaloside IV, AST) 是黄芪总苷中的 主要有效成分,研究发现 AST 可以有效改善心功 能,对心肌受抑制大鼠的心肌收缩及舒张功能都有 改善作用[2~4],具有明显的抗氧化损伤作用[5]。有 研究发现黄芪提取物能够促进缺氧/复氧损伤的神 经元细胞磷酸化 Akt 蛋白表达增加^[6]。现已证实, PI3K/Akt 信号通路在心肌保护作用中具有重要作 用^[7],活化的 PI3K 可激活下游信号蛋白 A kt,进而

发挥抗凋亡作用, 促进 DNA 损伤修复。本研究以 H₂O₂诱导 H₉c₂ 细胞氧化损伤为模型, 在研究 AST 细胞保护作用的同时探讨其保护作用与 PI3K/Akt 信号通路的关系。

1 材料

- 1. 1 细胞株: H9c2 细胞, 购于中国医学科学院基 础医学研究所细胞中心。
- 12 药物与试剂:黄芪苷 IV(AST, 上海医科大学 天然药物化学教研室提供,质量分数>98%);高糖 DM EM (Gibco 公司); 胎牛血清 (Hyclone 公司); 30% H2O2、DMSO (分析纯); MTT (Amresco 公 司); PI3K/Akt 抑制剂 LY294002 (Sigma 公司); 考马斯亮蓝蛋白质定量试剂盒(南京建成生物工程 研究所); DNA Ladder 抽提试剂盒 (碧云天生物技

①收稿日期: 2009-11-23

作者简介: 张 琦(1985-), 女, 天津人, 硕士生, 研究方向: 心血管药理学及分子药理学。 Tel: (022) 23542523 E-mail: zhangqi8501@126. com

^{*}通讯作者 刘艳霞 Tel: (022) 23542523 Ĕ-mail: liu_yanxia@yahoo.com